

чения образцов из реактора, $U(t) = 0$; в) облучения потоком нейтронов $U(t) = U_0(t)$, соответствующим законам классического вариационного исчисления: $\partial\mathcal{J}/\partial U = \varphi = 0$.

2. Получено необходимое условие [равенство (13)] того, что облучение максимальным потоком нейтронов $U(t) = U_{\max}$ на участке $0 \leq t \leq T$ соответствует оптимальному режиму.

3. Рассмотрен пример нахождения изменения потока нейтронов со временем при опти-

мальности режима, соответствующего классическому вариационному исчислению.

Поступила в Редакцию 24/VII 1968 г.

ЛИТЕРАТУРА

1. J. Milsted, P. Fields, D. Metta. Nucl. Appl., 1/2, 136 (1965).
2. W. Burch, E. Arnold, A. Chetham-Strode. Nucl. Sci. and Engng, 17, 438 (1963).
3. Л. С. Понятагин и др. Математическая теория оптимальных процессов. М., Физматгиз, 1961.

К систематике сечений деления тяжелых ядер на тепловых нейтронах

Ю. Ф. РОМАНОВ

В настоящее время фактически отсутствуют эмпирические корреляции, относящиеся к сечениям деления тяжелых ядер на тепловых нейтронах. О возможности деления того или иного ядра судят по разности между энергией связи нейтрона B_n в компаунд-ядре и энергией активации (барьера) деления E_f компаунд-ядра [1]. Считается, что четно-четные компаунд-ядра, т. е. ядра с четным Z и четным числом нейтронов N , делятся легче нечетных (нечетное A) и тем более нечетно-нечетных ядер. Это прежде всего связано с определением величины E_f , которая, как правило, сопоставляется с периодами спонтанного деления. Для описания E_f имеется несколько хорошо известных формул [1, 2]. В настоящей работе используется следующая формула [1]:

$$E_f = \left(18,1 - 0,36 \frac{Z^2}{A} + \varepsilon \right) M_{\text{эв}},$$

где $\varepsilon = 0$ для четно-четных ядер, $\varepsilon = 0,4$ для нечетных и $\varepsilon = 0,7$ для нечетно-нечетных ядер.

Так как энергия связи четных нейтронов всегда больше, чем нечетных в соседних ядрах, то присоединение нейтрона к ядру с нечетным N может с большей вероятностью вызвать деление, чем присоединение к ядру с четным N . Исходя из энергии связи нейтронов, следовало бы компаунд-ядра подразделить на две группы: 1) четно-четные и нечетно-четные (N четно), 2) четно-нечетные и нечетно-нечетные ядра (N нечетно). Если принять во внимание поправку ε в формуле для E_f , то можно было бы ввести четыре группы делящихся ядер.

Цель настоящей работы заключается в сопоставлении известных сечений деления на тепловых нейтронах с вычисленными величинами $B_n - E_f$ соответствующих компаунд-ядер. Для

УДК 539.173.84

удобства изложения нами принимается первый вариант группировки тяжелых ядер: ядра с четным числом нейтронов рассматриваются отдельно от ядер с нечетным числом нейтронов, причем при вычислении E_f поправка ε не учитывается. Отметим, что введение четырех групп ядер вместо двух принципиально не сказывается на обнаруженных корреляциях, что будет ясно из дальнейшего. Кроме того, использование других формул для вычисления E_f , хотя и приводит к несколько отличающимся величинам $B_n - E_f$, однако также не меняет основных выводов работы.

Вычисления энергий связи нейтронов производились по таблице масс ядер, составленной Маттаухом и др. [3].

Результаты расчета величин $B_n - E_f$ для ядер с четным N представлены в табл. 1, для ядер с нечетным N — в табл. 2. В таблицы включены все известные изотопы элементов от тория до менделевия. Данные для ядер с постоянным Z приводятся в отдельных строках таблиц, столбцами объединяются ядра, у которых $N - Z = \text{const}$, т. е. $\Delta Z = 2$ и $\Delta N = 2$. Из таблиц видно, что у рядов ядер с последовательным изменением Z на единицу и $N - Z$ также на единицу величины $B_n - E_f$ имеют сравнительно небольшой разброс около некоторых средних значений (см. диагональные направления, указанные стрелками). Как правило, разности $B_n - E_f$ у различных наборов ядер не перекрываются. Этот результат является неожиданным тем более, что признаком, по которому объединяются ядра, считается четность (или нечетность) числа нейтронов независимо от четности или нечетности Z . Интересно, что благодаря небольшому раз-

Величины $B_n - E_f$ (в МэВ) для ядер с четным N

Таблица 1

Элемент	$N=Z$																	
	44	45	46	47	48	49	50	51	52	53	54	55	56	57	58	59		
Th	A=224 2,4		226 2,0		228 1,8		230 1,3		232 0,9		234 0,5							
Ra		227 2,2		229 2,0		231 1,5		233 1,4		235 0,7		237 0,4						
U			230 2,8		232 2,3		234 1,7		236 1,3		238 0,8		240 0,5					
Np			231 2,9		233 2,6		235 2,1		237 1,7		239 1,0		241 0,8		243 -			
Pu			234 3,2		236 2,7		238 2,2		240 1,6		242 1,3		244 1,0		246 0,8			
Am			237 3,0		239 2,6		241 2,1		243 1,6		245 1,4		247 0,9		249 0,5			
Cm			240 3,2		242 2,8		244 2,3		246 1,8		248 1,5		250 0,9		252 0,9			
VK			243 2,8		245 2,8		247 2,3		249 2,3		251 1,8		253 1,1		255 -			
Cf			244 3,5		246 3,2		248 2,8		250 2,2		252 1,6		254 1,3		256 -			
Es			247 3,2		249 3,2		251 2,8		253 2,8		255 2,1		257 1,7		259 -			
Fm			250 4,0		252 3,0		254 2,3		256 2,1		258 2,1		260 2,1		262 2,1			
Md					253 3,7		255 3,4		257 3,8		259 3,1		261 2,6		263 -			

Величины $B_n - E_f$ (в МэВ) для ядер с нечетным N

Таблица 2

Элемент	$N=Z$																	
	44	45	46	47	48	49	50	51	52	53	54	55	56	57	58	59		
Th	A=225 0,6		227 0,2		229 0		231 -0,4		233 -0,6									
Ra	226 1,7		228 1,0		230 0,7		232 0,3		234 -0,2		236 -1,0							
U	229 1,3		231 1,0		233 0,9		235 0,2		237 0,1		239 -0,8							
Np	232 1,9		234 1,2		236 0,8		238 0,4		240 0,2		242 0		244 -0,6		246 -			
Pu	233 2,0		235 1,9		237 1,3		239 0,8		241 0,5		243 0		245 -0,5					
Am		236 -		238 1,8		240 1,3		242 0,8		244 0,5		246 0,1						
Gm			239 2,1		241 1,9		243 1,2		245 1,1		247 0,5		249 0,5		251 0		253 -0,7	
VK			242 2,4		244 1,8		246 1,4		248 1,1		250 0,3		252 -		254 -		256 -	
Cf			245 2,3		247 1,8		249 1,5		251 1,1		253 1,1		255 0,4		257 0		259 -	
Es			246 3,0		248 2,6		250 1,9		252 1,3		254 1,3		256 0,9		258 0,4		260 -	
Fm			249 2,6		251 2,7		253 2,0		255 1,4		257 1,4		259 0,9		261 0,9		263 -	
Md					252 3,1		254 2,1		256 -		258 1,2		260 -		262 -		264 -	

бросу $B_n - E_f$ для отмеченных рядов ядер можно предсказать $B_n - E_f$ для некоторых изотопов трансурановых элементов и, следовательно, найти B_n и массы неизученных нуклидов. Например, изотоп Cr^{254} располагается в ряду, где среднее значение разности $B_n - E_f$ равно $1,3 \text{ Мэв}$ (см. табл. 1). Вычислив $E_f = 4,5 \text{ Мэв}$, получаем энергию связи последнего нейтрона в ядре $\text{Cr}^{254} - B_n = 4,5 + 1,3 = 5,8 \text{ Мэв}$.

В табл. 3 приводятся сечения деления на тепловых нейтронах для различных ядер с нечетным N [1, 4]. Расположение того или иного нуклида в таблице связывается с величинами $(B_n - E_f)_{\text{ср}}$ и $N - Z$. Можно отметить общую тенденцию к увеличению сечений по мере возрастания $(B_n - E_f)_{\text{ср}}$ вплоть до $1,7 \text{ Мэв}$. Более отчетливо это проявляется у ядер, находящихся в отдельных столбцах и имеющих постоянную разность $N - Z$. Формально структурное различие таких ядер обусловлено избытком или недостатком α -частиц. В пределах одного столбца сечения увеличиваются с ростом $(B_n - E_f)_{\text{ср}}$, максимальная величина сечения достигается при $(B_n - E_f)_{\text{ср}} = 1,7 \text{ Мэв}$ (исключ-

чение составляет лишь Pu^{237}), однако при $(B_n - E_f) = 2,1 \text{ Мэв}$ сечения деления падают. На основании указанной корреляции можно ожидать, что сечение деления Bk^{248} превышает 2000 барн. Подобным образом устанавливаются верхние пределы сечений деления многих ядер; $\text{Th}^{231} < 580$ барн, $\text{U}^{237} < 1000$ барн, $\text{Np}^{240} < 2000$ барн, $\text{Cf}^{253} < 100$ барн, $\text{Es}^{256} < 1000$ барн, $\text{Am}^{240} < 2800$ барн, $\text{Bk}^{246} < 2500$ барн, $\text{Md}^{258} < 2700$ барн, $\text{Pu}^{235} < 400$ барн, $\text{Am}^{238} < 900$ барн и т. д.

По образцу табл. 3 построена табл. 4, в которой приведены сечения деления ядер, имеющих четное число нейтронов N . Из-за недостатка экспериментальных данных возрастание сечений при увеличении $B_n - E_f$ прослеживается менее отчетливо. По-видимому, максимальные сечения для ядер, находящихся в отдельных столбцах, соответствуют $(B_n - E_f)_{\text{ср}} = 0,9 \text{ Мэв}$. Однако какие-либо предельные значения сечений установить трудно.

Закономерности изменения полных сечений $(\sigma_f + \sigma_c)$ имеют аналогичный вид, т. е. полные сечения ядер с нечетным N максимальны вбли-

Сечения деления (в барнах) для ядер с нечетным N

Таблица 3

$(B_n - E_f)_{\text{ср}}, \text{Мэв}$	$N - Z$ исходного ядра												
	47	48	49	50	51	52	53	54	55	56	57	58	59
0,5							Th^{233}_{15}	Pa^{236}	U^{239}_{14}				
0,9					$\text{Th}^{231}_{—}$	$\text{Pa}^{234}_{< 500}$	U^{237}_{--}	$\text{Np}^{240}_{—}$	Pu^{243}_{200}				
1,3		Th^{229}_{30}	Pa^{232}_{700}	U^{235}_{577}	Np^{238}_{1600}	Pu^{241}_{1025}	Am^{244}_{2000}	Cm^{247}_{200}	Bk^{250}_{2000}	$\text{Cf}^{253}_{—}$	$\text{Es}^{256}_{—}$	Fm^{259}_{50}	
1,7	Th^{227}_{1500}	Pa^{230}_{1500}	U^{233}_{525}	Np^{236}_{2800}	Pu^{239}_{746}	Am^{242}_{2500}	Cm^{245}_{1800}	$\text{Bk}^{248}_{—}$	Cf^{251}_{3300}	Es^{254}_{2700}	Fm^{257}_{100}	Md^{260}_{1000}	
2,1	U^{231}_{400}	Np^{234}_{900}	Pu^{237}_{2000}	$\text{Am}^{240}_{—}$	Cm^{243}_{700}	$\text{Bk}^{246}_{—}$	Cf^{249}_{630}	$\text{Es}^{252}_{—}$	Fm^{255}_{100}	$\text{Md}^{258}_{—}$			
2,6	$\text{Pu}^{235}_{—}$	$\text{Am}^{238}_{—}$	$\text{Cm}^{241}_{—}$	$\text{Bk}^{244}_{—}$	$\text{Cf}^{247}_{—}$	$\text{Es}^{250}_{—}$	$\text{Fm}^{253}_{—}$	$\text{Md}^{256}_{—}$	$102^{259}_{—}$				

зи $(B_n - E_f)_{\text{ср}} = 1,7$ Мэв. Проявляющееся здесь размытие, возможно, обусловлено большими ошибками экспериментальных данных.

Из изложенного ясно, что учет поправки ϵ в формуле для E_f приведет к четырем группам ядер и к изменению величин $B_n - E_f$, но фактически не нарушит отмеченных закономерностей. По-видимому, поправка ϵ , связываемая с периодами спонтанного деления, не является строгим критерием, определяющим вероятность вынужденного деления. На это косвенно указывают величины $(B_n - E_f)_{\text{ср}}$ (см. табл. 1 и 2) и сечения деления ядер с нечетным Z , которые по крайней мере не меньше сечений деления ядер с четным Z . Поскольку сечения деления ядер второй группы меньше сечений деления ядер первой группы, то для ядер второй группы можно было бы ввести некоторую поправку в барьеры деления.

В одной из работ по систематике периодов спонтанного деления [5] отмечалось, что логарифмы отношений периодов спонтанного деления к периодам α -распада изменяются линейно от параметра Z^2/A для совокупности четно-

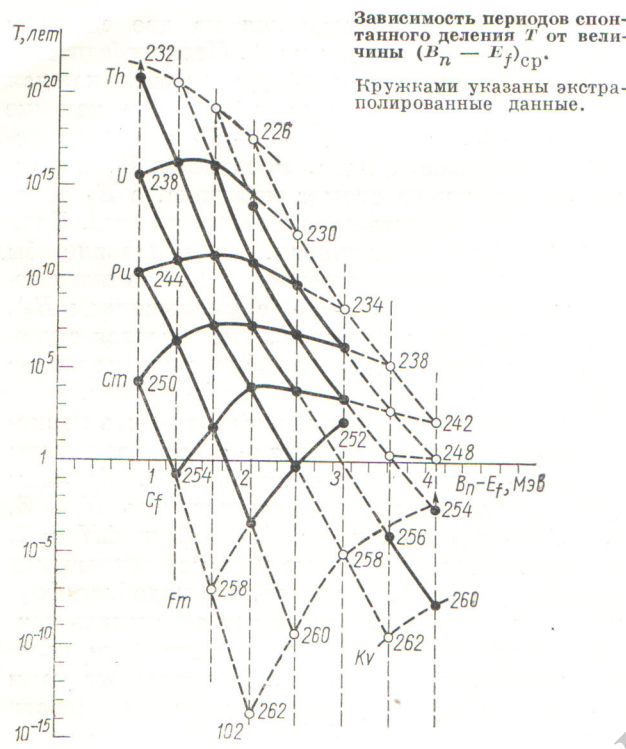
четных ядер, отличающихся на две единицы по Z и на шесть единиц по A . Легко убедиться, что в построенном семействе прямых каждая прямая объединяет ядра с одним и тем же $(B_n - E_f)_{\text{ср}}$. Величина $B_n - E_f$ является мерой устойчивости ядра, поскольку B_n характеризует энергию отрыва нейтрона, а E_f определяет возможность спонтанного деления. Если бы B_n было постоянным, то следовало бы ожидать уменьшения периодов спонтанного деления с ростом $B_n - E_f$ (с уменьшением E_f). Так как в общем случае B_n уменьшается с увеличением масс ядер, то изменение периодов от $B_n - E_f$ должно быть более резким.

На рисунке представлена зависимость периодов спонтанного деления T от величины $(B_n - E_f)_{\text{ср}}$ для четно-четных ядер. Периоды ядер, имеющих постоянную разность $N - Z$, т. е. отличающихся на $\Delta Z = 2$ и $\Delta N = 2$, укладываются на плавные кривые (исключение составляет Fm^{252}). Очевидно, что подобная формальная корреляция не может обеспечить точное предсказание периодов спонтанного деления неисследованных ядер. Проведенные нами экстраполяции основываются на плавности

Сечения деления (в барнах) для ядер с четным N

Таблица 4

$(B_n - E_f)_{\text{ср}},$ Мэв	$N - Z$ исходного ядра										
	46	47	48	49	50	51	52	53	54	55	56
-0,7							Th^{232} $6 \cdot 10^{-5}$	Pa^{235} —	U^{238} $5 \cdot 10^{-4}$	Np^{241} —	Pu^{244} 0
0					Th^{230} $\leqslant 0,001$	Pa^{233} $< 0,1$	U^{236} 0	Np^{239} < 1	Pu^{242} $< 0,2$	Am^{245} —	Cm^{248} 0
0,4			Th^{228} $\leqslant 0,3$	Pa^{231} 0,01	U^{234} $\leqslant 0,65$	Np^{237} 0,019	Pa^{240} 0,03	Am^{243} $< 0,072$	Cm^{246} 0	Bk^{249} 0	Cf^{252} 0
0,9		Pa^{229} —	U^{232} 77	Np^{235} —	Pu^{238} 16,8	Am^{241} 3,1	Cm^{244} < 2	Bk^{247} —	Cf^{250} —	Es^{253} —	
1,3	U^{230} 25	Np^{233} —	Pu^{236} 170	Am^{239} —	Cm^{242} < 5	Bk^{245} —	Cf^{248} —	Es^{251} —	Fm^{254} 0		
1,8	Pu^{234} —	Am^{237} —	Cm^{240} —	Bk^{243} —	Cf^{246} —	Es^{249} —	Fm^{252} —	Md^{255} —	102^{258} —		



кривых, соответствующих изотопам одного и того же элемента, на выбранных величинах $(B_n - E_f)_{ср}$ и на плавности кривых, относящихся к ядрам с $\Delta Z = 2$ и $\Delta N = 2$. Экстраполированные значения периодов спонтанного деления некоторых ядер указываются на рисунке светлыми кружками.

Автор благодарен профессорам К. А. Петражаку и А. Н. Мурину за интерес, проявленный к настоящей работе, и полезные дискуссии.

Поступила в Редакцию 41/III 1968 г.

ЛИТЕРАТУРА

1. В. И. Гольданский. Новые элементы в периодической системе Д. И. Менделеева. М., Атомиздат, 1964.
2. W. Swiatecki. Phys. Rev., 101, 97 (1955).
3. В. А. Кравцов. Массы атомов и энергии связи ядер. М., Атомиздат, 1965.
4. И. В. Гордеев, Д. А. Кардашев, А. В. Малышев. Ядерно-физические константы. М., Атомиздат, 1963.
5. M. Studier, J. Huizenga. Phys. Rev., 96, 545 (1954).

О возможности получения монохроматических γ -квантов методом аннигиляции позитронов на лету в циклических ускорителях

А. Н. ДИДЕНКО, В. С. ТАЛАНКИН, С. А. ВОРОБЬЕВ, В. Н. КУЗЬМИН

УДК 621.384.01:539.122:539.124.6

аннигиляции в циклических ускорителях и посвящается настоящая статья.

При двухфотонной аннигиляции зависимость энергии γ -кванта k от энергии позитрона E и угла θ между направлениями движения позитрона и γ -кванта имеет следующий вид:

$$k = \frac{1}{1 - \sqrt{\frac{E-1}{E+1}} \cos \theta}. \quad (1)$$

Здесь и в дальнейшем энергия измеряется в единицах $m_e c^2$.

Из формулы (1) видно, что при аннигиляции монохроматических и мононаправленных позитронов можно получать монохроматические γ -кванты, вырезая их в малом телесном угле. Получаемое излучение можно характеризовать среднеквадратичным разбросом аннигиляционных γ -квантов по энергии (ширина линии), числом аннигиляционных γ -квантов (интенсивность линии) и отношением интенсивности